



Aplicación de correlaciones parciales y teoría de la información a redes de estimas de consanguinidad en conejos

Silvia Teresa Rodríguez-Ramilo, A. Reverter, J. P. Sanchez, M. Velasco-Galilea, O. Gonzalez, M. Piles

► To cite this version:

Silvia Teresa Rodríguez-Ramilo, A. Reverter, J. P. Sanchez, M. Velasco-Galilea, O. Gonzalez, et al.. Aplicación de correlaciones parciales y teoría de la información a redes de estimas de consanguinidad en conejos. XVIII. Jornadas sobre producción animal, May 2019, Zaragoza, España. 2019. hal-02788651

HAL Id: hal-02788651
<https://hal.inrae.fr/hal-02788651v1>

Submitted on 5 Jun 2020

HAL is a multi-disciplinary open access archive for the deposit and dissemination of scientific research documents, whether they are published or not. The documents may come from teaching and research institutions in France or abroad, or from public or private research centers.

L'archive ouverte pluridisciplinaire **HAL**, est destinée au dépôt et à la diffusion de documents scientifiques de niveau recherche, publiés ou non, émanant des établissements d'enseignement et de recherche français ou étrangers, des laboratoires publics ou privés.

**ASOCIACIÓN
INTERPROFESIONAL PARA EL
DESARROLLO AGRARIO
(AIDA)**

**XVIII JORNADAS
SOBRE PRODUCCIÓN ANIMAL**

7 y 8 de mayo de 2019

Zaragoza

PROGRAMA

XVIII JORNADAS SOBRE PRODUCCIÓN ANIMAL

Martes, 7 de mayo de 2019

lugar	Sistemas de explotación: Gestión-economía	Ruminantes	Nutrición-Alimentación Monogástricos	Reproducción	Genética	Calidad	Sanidad y Bienestar animal
8:30-9:00	Aula C	Aula A	Sala 1	Aula B	Salón de actos	Aula D	Sala 1
9:00-10:00		Cebido de terneros (4c) Mod. M. Devant	Miscelánea (4c) Mod. M. Gómez	Entrega de documentación	Selección genómica (4c) Mod. M. Saura	Factores antemortem I (4c) Mod. V. Resconi	
10:00-10:30				café			
Ponencia inaugural "Retos de la Agencia Estatal de Investigación". Ponente: Dr. E. Playan. Director de la Agencia Estatal de Investigación							
10:30-12:00	Aula C	biblioteca IAMZ	Aula A	Aula B	Salón de actos	Aula D	Sala 1
12:00-14/14:30	Economía y uso de recursos (5c) Mod. M.J. Milán	Pósteres (14c)	Cerdas reproductoras y lechones (8c) Mod. A. Cerisuelo	Manejo e inseminación artificial (8c) Mod. A. Sanz	Genética de poblaciones (5c) Mod. P. Hernández biblioteca IAMZ	Factores antemortem II (9c)	Bienestar animal (6c) Mod. Villagrá
14/14:30-15:30	comida	comida	comida	comida	Pósteres (8c)	Mod. D. Tejerina comida	comida

Martes, 7 de mayo de 2019

	Sistemas de explotación: Gestión-economía	Nutrición-Alimentación Ruminantes	Reproducción	Genética	Calidad	Sanidad y Bienestar animal
lugar	Aula C	Aula A	Aula B	Salón de actos	Aula D	Sala I
15:30-16:30	Medioambiente I: Sostenibilidad (4c) Mod. T. Rodríguez	Fermentación <i>in vivo</i> (4c) Mod. M. Fondevila	Semen I (4c) Mod. R. Pérez	Mejora genética de monogástricos (4c) Mod. N. Piles	Factores postmortem I (4c) Mod. X. Averós	Sanidad animal I (4c) Mod. F. Carrera.
16:30-17:00	Varios sector lechero (5c) Mod. D. Vázquez-Ruiz	Rendimientos y metabolitos (7c) Mod. M. Joy	pausa	Semen II (6c) Mod. J. Yáñez	Ponencia J. Estellé Metodología (4c) Mod. J.P. Sánchez	Factores postmortem II (6c) Mod. V. Sarrés
17:00-19:00						Sanidad animal II (8c) Mod. F. Carrera.
19:00					vino de AlDA	

Miércoles, 8 de mayo de 2019

	Sistemas de explotación: Gestión-economía	Nutrición-Alimentación	Reproducción	Genética	Calidad	Sanidad y Bienestar animal
lugar	Aula C	Ruminantes Aula A	Sala 1	Aula B	Biblio IAMZ Pósteres (8c)	Biblioteca IAMZ
9:00-10:30	Mediambiente II: Emisiones (5c)	Producción y calidad de la leche (6c)	Embriones (5c)	Salón de actos Mejora genética de rumiantes (4c)	Pósteres (8c)	
Mod. T. Rodríguez	Mod. F. Vicente	Mod. A. Casao	Mod. A. Legarra			
10:30-11:00			Café			
lugar	Aula C	Aula A	Aula B	Salón de actos	Aula D	
11:00-12:30	Caracterización productiva (5c) Mod. R. Ruiz	In vitro I (6c) Mod. A. Belanche	Cerdos de cebo I (5c) Mod. S. Martín-Orúe	Transcriptoma (5c) Mod. I. Martín-Burriel	Miscelánea (4c) Mod. M. Blasco	
12:30-14/14:30		In vitro II: Subproductos (5c) Mod. P.G. Toral	Cerdos de cebo II (5c) Mod. I. Fdez-Figares	Gen candidato y GWAS (5c) Mod. R. Ros-Freixedes	Consumidores (5c) Mod. M. Font-i-Furnols	
14:30-15:30			comida			
15:30-17:00	Relación alimentación-sanidad (5c) Mod. E. Albanell	Avicultura (6c) Mod. M. García		Secuenciación de genoma completo (5c) Mod. J.J. Arranz	Metodología (4c) Mod. C. Sañudo	
17:15			Asamblea AIDA			

Sesión: Pósteres

Sala: biblioteca IAMZ

Hora: martes 7 de mayo, 13:30-14:30

EFECTO DE LA SELECCIÓN POR VARIANZA AMBIENTAL DEL TAMAÑO DE CAMADA SOBRE LA SUPERVIVENCIA Y EL PESO PREDESTINADO EN CONEJOS. Agea, I., Gálindo, J., García, M.L., Blasco, A. y Argente, M.J.

RESPUESTA CORRELACIONADA A LA SELECCIÓN POR VARIANZA AMBIENTAL DEL TAMAÑO DE CAMADA SOBRE LA CONDICIÓN CORPORAL DE LA CONEJA. Agea, I., García, M.L., Blasco, A. y Argente, M.J.

HUELLAS DE SELECCIÓN EN UN EXPERIMENTO DE SELECCIÓN DIVERGENTE POR VARIANZA AMBIENTAL DEL TAMAÑO DE CAMADA EN CONEJO. Casto-Rebollo, C., Varona, L., Argente, M.J., García, M.L., Sosa-Madrid, B.S., Blasco, A. e Ibáñez-Escríche, N.

ESTUDIO PRELIMINAR SOBRE DIFERENCIAS EN LONGEVIDAD REPRODUCTIVA ENTRE DOS LÍNEAS SELECCIONADAS DIVERGENTEMENTE PARA VARIABILIDAD DEL PESO AL NACIMIENTO EN RATONES. Formoso-Rafferty, N., Gutiérrez, J.P. y Cervantes, I.

DETECCIÓN DE REGIONES GENÓMICAS ASOCIADAS AL CONTENIDO DE VITAMINA A Y E EN PLASMA EN RASA ARAGONESA. Öner, Y., Serrano, M., Bertolín, J.R., Sarto, M.P., Iguácel, L.P., Ramón, M., Blanco, M., Joy, M. y Calvo, J.H.

PARÁMETROS GENÉTICOS Y FENOTÍPICOS PARA CARACTERES DE COAGULACIÓN DE LA LECHE EN UNA POBLACIÓN COMERCIAL DE OVEJAS DE RAZA ASSAF. Sánchez-Mayor, M., Pong-Wong, R., Gutiérrez-Gil, B., de la Fuente, L.F. Garzón, A. y Arranz, J.J.

CUANTIFICACIÓN DE LA ENZIMA ESTEAROYL-COA DESATURASA HEPÁTICA EN CERDOS DUROC. Tor, M., Vilardo, F., Gol, S., Bosch, L., Reixach, J., Pena, R.N. y Estany, J.

APLICACIÓN DE CORRELACIONES PARCIALES Y TEORÍA DE LA INFORMACIÓN A REDES DE ESTIMAS DE CONSANGUINIDAD EN CONEJOS. Rodríguez-Ramilo S.T., Reverter, A., Sánchez, J.P., Velasco-Galilea, M., González, O. y Piles, M.

Sesión: Mejora genética de monogástricos

Sala: Salón de actos

Hora: martes 7 de mayo, 15:30-16:30

Moderadora: M. Piles

EFECTO DE LA PRESENCIA DEL SEXO OPUESTO EN EL BIENESTAR ANIMAL Y EN VARIABLES ESPERMÁTICAS DE AVES DE PUESTA. Dávila, S.G., Torres, O., García-Gil, M., Campo, J.L., Castaño, C., Toledano-Díaz, A. y Santiago-Moreno, J.

INFLUENCIA DEL SISTEMA DE ALOJAMIENTO EN LA CALIDAD DEL HUEVO, Y SU EFECTO SOBRE EL BIENESTAR EN RAZAS DE GALLINAS ESPAÑOLAS. García-Gil, M., Cabezas, R., Prieto, M.T., Torres, O., Dávila, S.G., Castaño, C., Toledano-Díaz, A., Campo, J.L. y Santiago-Moreno, J.

DIFERENCIAS EN MORTALIDAD FETAL ENTRE LÍNEAS SELECCIONADAS DIVERGENTEMENTE PARA VARIABILIDAD DEL PESO AL NACIMIENTO EN RATONES. Formoso-Rafferty, N., Arias-Álvarez, M., Gutiérrez, J.P., Cediel, R. y Cervantes, I.

MEJORA DE LA RESILIENCIA A PRRSV EN CERDAS REPRODUCTORAS. Fraile, L., Abella, G., Novell, E., Tarancón, V., Varona, L., Pena, R.N. y Estany, J.

APLICACIÓN DE CORRELACIONES PARCIALES Y TEORÍA DE LA INFORMACIÓN A REDES DE ESTIMAS DE CONSANGUINIDAD EN CONEJOS

Rodríguez-Ramilo¹, S. T., Reverter², A., Sánchez³, J. P., Velasco-Galilea³, M., González³, O. y Piles³, M.

¹INRA, Castanet-Tolosan, 31326, Francia. ²CSIRO Agriculture & Food, Brisbane, QLD 4067, Australia. ³IRTA, Caldes de Montbui, 68140, España.

miriam.piles@irta.es

INTRODUCCIÓN

Obtener estimas precisas de consanguinidad es importante para el manejo de poblaciones en programas de selección. Entre las consecuencias más importantes de la consanguinidad se encuentran la pérdida de variabilidad genética y la reducción de la media de caracteres con interés económico (Falconer y Mackay, 1996). Tradicionalmente, el coeficiente de consanguinidad se ha estimado a partir del pedigree. Sin embargo, los chips de SNPs permiten obtener estimas genómicas de consanguinidad.

Es habitual encontrar en la literatura la correlación que existe entre distintas estimas de consanguinidad genómicas y las obtenidas a partir de la información de pedigree (e. g. Rodríguez-Ramilo et al., 2019). Sin embargo, algunas de estas correlaciones podrían ser espurias si, por ejemplo, dadas tres estimas de consanguinidad (A, B y C) sucede que obtenemos una correlación moderada entre dos estimas independientes (A y B) debida a la confusión con la otra (C), cuando la correlaciones entre A y C y entre B y C son ambas elevadas. La cuestión es si la correlación moderada que existe entre A y B es significativamente independiente de las altas correlaciones que existen entre A y C y entre B y C. Para tratar de responder a esta cuestión hay algoritmos que emplean los coeficientes de correlación parcial de primer orden y la teoría de la información (PCIT) para identificar asociaciones significativas entre dos variables e independientes de una tercera variable (Reverter y Chan, 2008). En este trabajo se propone el uso del algoritmo PCIT para detectar asociaciones significativas entre distintas estimas de consanguinidad y fenotipos en una población seleccionada de conejos.

MATERIAL Y MÉTODOS

Datos

Los animales proceden de la población seleccionada del IRTA fundada en 1983 cruzando conejos de 5 líneas New Zealand White y una línea sintética de California x New Zealand. Esta población ha sido seleccionada para peso de camada y tasa individual de crecimiento durante unos años y, posteriormente para tasa individual de crecimiento. Después de unos años sin ser seleccionada, está siendo seleccionada actualmente para eficiencia alimentaria durante el engorde empleando distintas estrategias de selección. La selección se ha realizado mediante generaciones solapadas y evitando apareamientos entre individuos con abuelos en común (Piles et al., 2017).

Se genotiparon $N = 490$ animales con el chip de 200K de Affymetrix. El control de calidad se realizó con el programa PLINK v1.90 (Purcell et al., 2007). Despues del filtrado los análisis se realizaron con 114.604 SNPs autosómicos.

Como información fenotípica se empleó la ganancia de peso diaria promedio (ADG) en dos regímenes alimenticios: a voluntad (ADG_{RegV} , $N = 228$) y con restricción (ADG_{RegR} , $N = 207$). Esta fue medida sólo en los gazapos (435 de los 490 individuos).

Estimas de consanguinidad basadas en información genealógica

Las estimas de consanguinidad basadas en pedigree (F_{ped}) se obtuvieron mediante el programa inbupgf90 (Aguilar y Misztal, 2008). Se dividió la genealogía en tres períodos de 20 años y, siguiendo a Ragab et al. (2015), se estimó la consanguinidad basada en pedigree antigua (F_{pedA}), intermedia (F_{pedI}) y reciente (F_{pedR}).

Estimas de consanguinidad basadas en información genómica

Las estimas genómicas de consanguinidad basadas en segmentos de homocigotos (*Froh*) se obtuvieron con el programa PLINK v1.90 (Purcell et al., 2007). Los criterios para definir un segmento de homocigotos fueron: (1) tener un mínimo de 100 SNPs, (2) tener una densidad mínima de 1 SNP cada 50 Kb, (3) que la distancia máxima entre 2 SNPs homocigotos en un segmento fuese 1 Mb, (4) que hubiese un máximo de 5 genotipos faltantes, y (5) un máximo de un genotipo heterocigoto en un segmento en particular. La longitud mínima que constituyó un segmento de homocigotos se estableció en > 1,25 y < 2,5, > 2,5 y < 10, y > 10 Mb para reflejar consanguinidad antigua (*FrohA*), intermedia (*FrohI*) y reciente (*FrohR*), respectivamente (Curik et al., 2014).

Se obtuvieron estimas genómicas de consanguinidad a partir de la proposición de VanRaden (2008) (*Fvan*). También se calcularon la proporción de genotipos homocigotos (*Fsnp*) y la proporción de SNPs homocigotos para el alelo con menor frecuencia (*PHoMA*).

Finalmente, se calculó la eficiencia de compresión (*CE*) como $CE = (Sa - Sd)/Sa$, donde *Sa* y *Sd* representan el tamaño del fichero de genotipos en bytes antes y después de la compresión, respectivamente (Hudson et al., 2014).

Identificación de asociaciones significativas y reconstrucción de redes

Se emplearon los coeficientes de correlación parcial de primer orden combinados con una aproximación de la teoría de la información (Reverter y Chan, 2008) para identificar asociaciones significativas entre los distintos coeficientes de consanguinidad y fenotipos. Estas correlaciones se calcularon con el programa PCIT (Watson-Haigh et al., 2010). Una vez identificadas las asociaciones significativas, el análisis de redes complejas y su visualización se realizó mediante el programa Cytoscape 2.8.3 (Shannon et al., 2003).

RESULTADOS Y DISCUSIÓN

La Figura 1.a muestra las asociaciones significativas entre las distintas estimas de consanguinidad. *FrohR* es el nodo más importante ya que tiene 6 enlaces, de los cuales uno de ellos es negativo con *FrohA*. *CE* es un nodo balanceado porque tiene 2 conexiones positivas y 2 negativas. *Fvan* es la que está menos relacionada porque solamente está conectada con *PHoMA* indicando que *Fvan* tiene que ver con individuos que comparten alelos poco frecuentes. Finalmente, *FrohI* no aporta ninguna información útil que no den las otras variables ya que no presenta conexión con ninguna otra variable.

En la Figura 1.b se pueden observar las correlaciones significativas entre las distintas consanguinidades evaluadas y *ADGRegV*. Se sigue manteniendo que la consanguinidad más importante es *FrohR* porque sigue teniendo 6 conexiones, y sigue manteniendo la asociación negativa con *FrohA* indicando quizás el posible detrimiento y beneficio que pudieran ejercer *FrohR* y *FrohA*, respectivamente, sobre los caracteres productivos. *FrohI* se correlaciona positivamente con *FpedI*, y ésta negativamente con *ADGRegV*. Sin embargo, tanto *FrohI* como *ADGRegV* tienen solamente una conexión, al igual que *Fvan*.

La Figura 1.c muestra las asociaciones significativas entre las distintas estimas de consanguinidad y *ADGRegR*. *Fvan* sigue mostrando solamente una conexión. *FrohR* sigue manteniendo el número máximo de conexiones, y la correlación negativa con *FrohA*. Es importante resaltar que *FrohA* tiene una correlación negativa con *ADGRegR*. Además, *FpedI* tiene correlación positiva con *ADGRegR* y negativa con *ADGRegV* (Figura 1.b) pero ambas son muy bajas.

En resumen, los resultados indican que el algoritmo PCIT permite inferir conexiones significativas entre estimas de consanguinidad y fenotipos y enfatiza la importancia de *FrohR* frente a otras estimas.

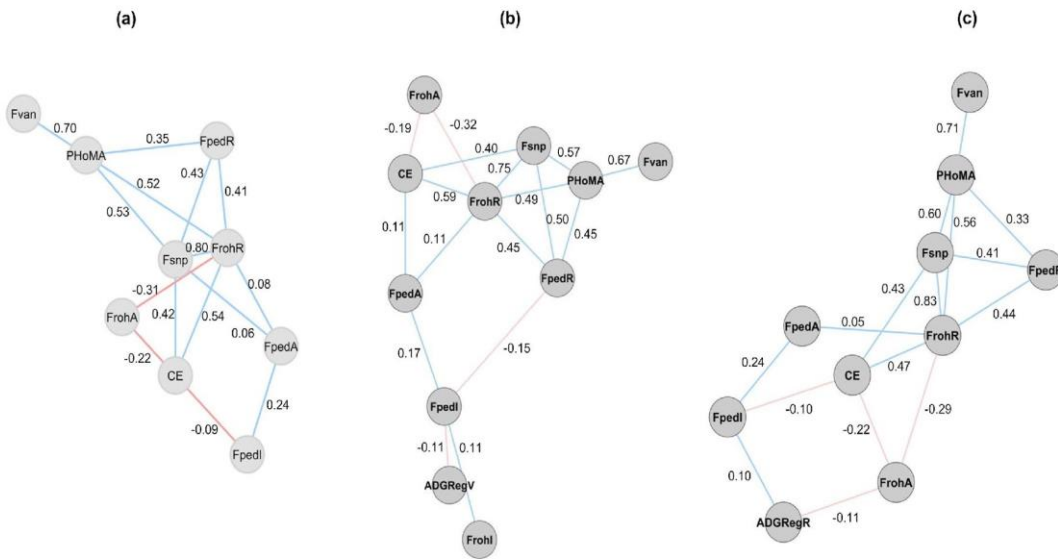


Figura 1. Correlaciones parciales entre las distintas estimas de consanguinidad (F_{pedA} , F_{pedl} , F_{pedR} , $FrohA$, $FrohR$, $Fvan$, $FsnP$, $PHoMA$ y CE) (a), incluyendo la ganancia de peso diaria promedio en los conejos alimentados a voluntad ($ADGRegV$) (b), y con restricción ($ADGRegR$) (c). Los enlaces en azul muestran las correlaciones positivas y en rojo las negativas.

REFERENCIAS BIBLIOGRÁFICAS

- Aguilar, I. & Misztal, I. 2008. J. Dairy Sci. 91: 1669-1672. • Curik, I. et al. 2014. Livest. Sci. 166: 26-34. • Falconer, D.S. & Mackay, T.F.C. 1996. Harlow: Longman Scientific & Technical. • Hudson, N.J. et al. 2014. BMC Bioinformatics 15: 66. • Piles, M. et al. 2017. Genet. Sel. Evol. 49: 58. • Purcell, S. et al. 2007. Am. J. Hum. Genet. 81(3):559-575. • Ragab, M. et al. 2015. J. Anim. Breed. Genet. 132: 68-73. • Reverter, A. & Chan, E.K.F. 2008. Bioinformatics 24: 2491-2497. • Rodríguez-Ramilo, S.T. et al. 2019. J. Dairy Sci. En prensa. • Shannon, P. et al. 2003. Genome Res. 13(11): 2498-2504. • VanRaden, P.M. 2008. J. Dairy Sci. 91:4414-4423. • Watson-Haigh, N.S. et al. 2010. Bioinformatics 26: 411-413.

AGRADECIMIENTOS

Este trabajo ha sido financiado por los proyectos Feed-a-Gene (EU 633531), ARDI-POCTEFA (EFA 208/16), SMARTER (EU 772787), INRA (GDivSelGen MP-P10396) y el INIA (RTA2011-00064-00-00).

APPLICATION OF PARTIAL CORRELATIONS AND INFORMATION THEORY TO ESTMATES OF INBREEDING NETWORKS IN RABBITS

ABSTRACT: This study aims to implement partial correlations and information theory to assess the relation between different estimators of inbreeding and phenotypes using a selected population of rabbits. Pedigree data and genomic information from a 200K chip were available. After filtering, the data set constituted 490 animals genotyped for 114,604 autosomal SNPs. The evaluated methodology allows inferring meaningful associations between estimates of inbreeding appropriately.

Keywords: inbreeding, average genetic gain, rabbit, partial correlation, network.